

تهیه و شناسایی نانو ذره اکسیدی مس-منگنز با خواص پارا مغناطیسی

نیلوفر اکبرزاده^{*}^۱، مهدی شهرکی^۲، مسعود محمودزه^۳

(تاریخ دریافت: ۱۳۹۵/۰۲/۱۶، ش.ص ۱۶۳-۱۷۲، تاریخ پذیرش: ۱۳۹۶/۰۳/۲۰)

چکیده

در این مقاله ابتدا کمپلکس سه هسته‌ای $[\text{Mn}(\text{phen})_2(\text{H}_2\text{O})(\mu\text{-NCS})\text{Cu}(\text{NCS})_4(\mu\text{-NCS})\text{Mn}]$ که در آن phen=1,10-Phenanthroline می‌باشد، تهیه و ساختار پیشنهادی آن توسط روش‌های طیف سنجی مادون قرمز(FT-IR)، طیف سنجی(Uv-vis) بررسی شد. رفتار الکتروشیمیایی کمپلکس با روش ولتاوری چرخه‌ای مورد مطالعه قرار گرفت. سپس بلور کمپلکس در کوره با دمای ۹۵۰ درجه سلسیوس به مدت پنج ساعت قرار گرفت و به نانو ذره اکسیدی CuMn_2O_4 تبدیل شد. ساختار نانو ذرات به دست آمده از روش کمپلکسومتری به وسیله طیف سنجی مادون قرمز (FT-IR)، پراش پرتو ایکس (XRD)، میکروسکوپ الکترونی روبشی (SEM) و طیف سنجی تفرق انرژی (EDX) مورد مطالعه قرار گرفت. رفتار مغناطیسی نانوذرات توسط مغناطیسی سنج با نمونه ارتعاشی با VSM بررسی شد. پراش پرتو ایکس (XRD) نشان می‌دهد که نمونه مورد نظر تک فاز و دارای تقارن مکعبی می‌باشد. همچنین اندازه ذرات تشکیل شده در حدود ۱۸ نانومتر می‌باشد. تصاویر SEM نشان داد که ذرات به دست آمده مورفولوژی تقریباً یکسان و کروی شکل دارند.

واژه‌های کلیدی: رفتار الکتروشیمیایی، نانو ذره اکسیدی، میکروسکوپ الکترونی روبشی – تک فاز – مورفولوژی.

۱ - استادیار، گروه شیمی، دانشکده علوم پایه، دانشگاه سیستان و بلوچستان، زاهدان، ایران

۲ - استادیار، گروه شیمی، دانشکده علوم پایه، دانشگاه سیستان و بلوچستان، زاهدان، ایران

۳ - دانشجوی کارشناسی ارشد، گروه شیمی، دانشکده علوم پایه، دانشگاه سیستان و بلوچستان، زاهدان، ایران

*-نویسنده مسئول مقاله: n.akbarzadeh@chem.usb.ac.ir

تهریه $[\mu\text{-NCS})\text{Mn}(\text{phen})_2(\text{H}_2\text{O})]$ شد.

مواد و روش‌ها

کلیه مواد مورد استفاده در پروژه از شرکت مرک (Merck) و فلوکا (Fluka) با خلوص ۹۸ درصد خریداری شده‌اند.

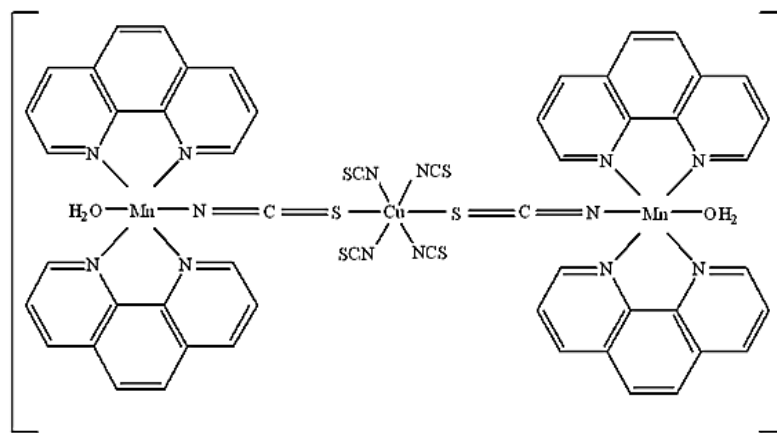
برای تهیه نانو ذره CuMn_2O_4 ابتدا کمپلکس معدنی منگنز - مس تهیه شد.

روش کار

برای تهیه کمپلکس $[\text{Mn}(\text{phen})_2(\text{H}_2\text{O})](\mu\text{-NCS})\text{Cu}(\text{NCS})_4(\mu\text{-NCS})\text{Mn}(\text{phen})_2(\text{H}_2\text{O})$ ابتدا دو ترکیب آنیونی و کاتیونی تهیه شد. برای تهیه کمپلکس آنیونی $[\text{Cu}(\text{SCN})_6]^{4-}$ ۱ میلی مول CuCl_2 را در ۱۵ میلی لیتر آب مقطر حل و به آن ۱۰ میلی لیتر محلول آبی آمونیوم تیوسیانات (۶ میلی مول معادل $228/0.0\text{ گرم}$) اضافه شد. محلول سبز رنگ به مدت ۴۸ ساعت در دمای 70°C رفلaks شد. برای تهیه کمپلکس کاتیونی ۲ میلی مول (۰/۱۹۷ گرم) منگنز (II) کلرید چهارآبه را در ۱۵ میلی لیتر اتانول حل و به آن ۱۵ میلی لیتر محلول اتانولی حاوی ۴ میلی مول (۰/۰۴۰۲ گرم) ۱۰،۱ - فنانترولین افزوده شد. محلول حاصل به مدت ۴۸ ساعت در دمای 70°C رفلaks گردید. و درنهایت رسوب‌های زرد پسیار کم رنگ تشکیل شد. سپس برای تهیه کمپلکس نهایی دو ترکیب آنیونی و کاتیونی به یکدیگر اضافه شدند. محصول نهایی پس از ۴۸ ساعت رفلaks در دمای 70°C ، صاف و رسوب به دست آمده جمع آوری گردید. ساختار پیشنهادی کمپلکس تهیه شده در شکل ۱ آمده است. جهت تهیه نانو ذرات کمپلکس تهیه شده به مدت ۵ ساعت در کوره با دمای 950°C قرار گرفت.

پیشگفتار

ساخترهای اکسید با ابعاد نانو نسبت به مواد اکسیدی حجیم دارای خواص فیزیکی و شیمیایی جدیدی هستند که طی سال‌های اخیر تعداد زیادی از آن‌ها بررسی شده‌اند [۲۱]. استفاده از اجزای آلی در اصلاح ساختاری اکسیدهای معدنی ثابت شده است و یک استراتژی قدرتمند برای تهیه مواد جدید محسوب می‌شود [۳،۴]. بهویژه، مواد ترکیبی آلی و معدنی تهیه شده توسط این روش‌ها دارای ساختارهای جالب توجه و کاربردهای بالقوه مانند: کاتالیزور، جاذب مولکولی، هادی الکتریکی، کاربرد مغناطیسی و نوری می‌باشند [۵-۷]. بازهای نیتروژن دار دو دندانه مانند ۱۰-۱ فنانترولین - بی‌پیریدین و دیگر مشتقان آن‌ها کلیت‌های مهم در شیمی کتوفیناسیون هستند و اغلب در تهیه کمپلکس‌ها با خواص متفاوت و جالب استفاده می‌شوند. کمپلکس‌های فلزات واسطه ردیف اول شامل لیگاندهای پلی‌پیریدیلی نه تنها خواص بیولوژیکی مهمی دارد بلکه، به این دلیل که کاربردهای متنوعی به عنوان بلوک واحد در سنتز دندیریمهای فلزی به عنوان داربست مولکولی برای واکنش‌های پلیمریزاسیون و کمپلکس‌های ابرمولکولی دارند مهم می‌باشند [۸-۱۰]. از میان نانو ذرات فلزی، نانو ذرات برپایه مس به دلیل قیمت پایین و در دسترس بودن دارا بودن خواص مشابه به نانو ذرات فلزی دیگر بیشتر مورد توجه قرار گرفته‌اند [۱۱ و ۱۲]. از نانو سیم‌های اکسید مس (CuO) می‌توان برای تجزیه و حذف فوتوكاتالیستی مواد رنگی سمی و مخرب استفاده کرد [۱۳]. اکسیدهای منگنز با توجه به خواص الکتریکی و مغناطیسی خود کاربردهای قابل توجهی را در زمینه‌های علمی و تکنولوژی به دست آورده‌اند. ساختار Mn_3O_4 دارای کاربردهای صنعتی زیادی از جمله کاربردهای کاتالیستی، مغناطیسی، الکتروشیمیایی و رفع آلودگی هواست [۱۴]. در این تحقیق نانو ذرات اکسیدی منگنز - مس توسط تخریب حرارتی کمپلکس $[\text{Mn}(\text{phen})_2(\text{H}_2\text{O})](\mu\text{-NCS})\text{Cu}(\text{NCS})_4$

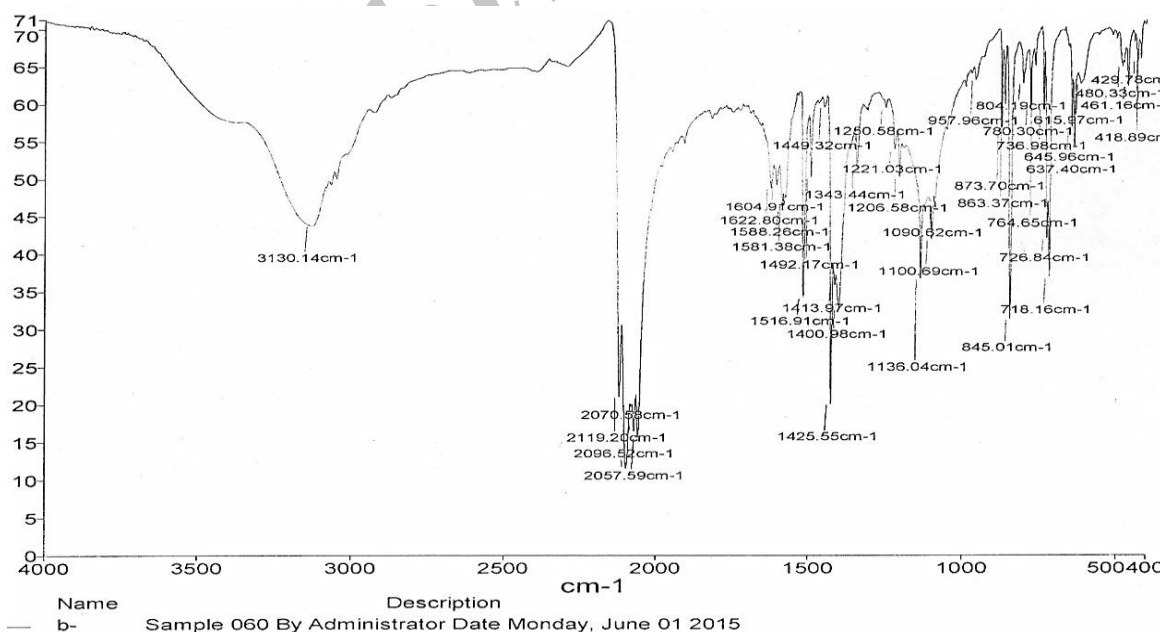


شکل ۱- ساختار پیشنهادی کمپلکس

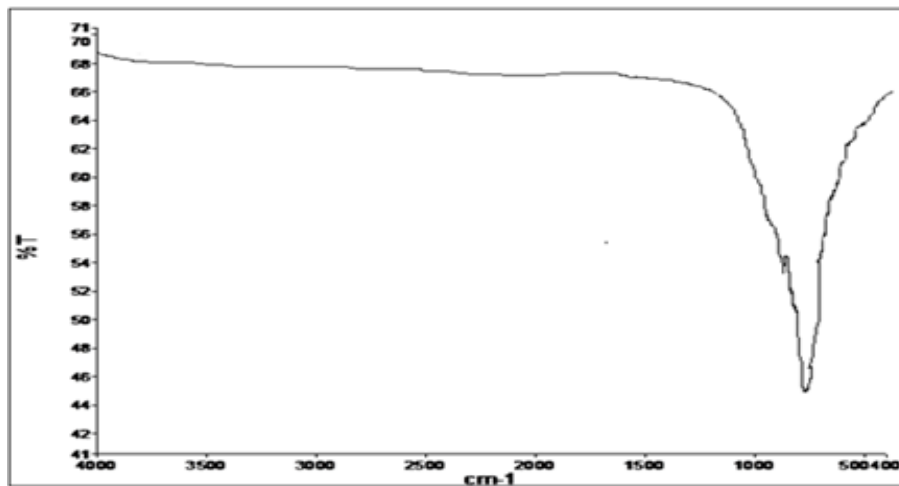
بحث و نتایج

موجود در نواحی پیک‌های ۷۶۴ و ۷۲۶ cm^{-1} می‌باشد. ۸۴۵ به ارتعاشات خمثی $\text{C}=\text{N}$ و $\text{C}=\text{C}$ حلقه فنانترولین نسبت داده می‌شود [۱۷-۱۸]. شکل ۳ طیف مادون قرمز کمپلکس را پس از کلسینه شدن نمایش می‌دهد. پیک‌های موجود در نواحی ۷۰۰ cm^{-1} مربوط به اکسیدهای فلزی $\text{Mn}-\text{O}$ و $\text{Cu}-\text{O}$ می‌باشد [۱۹].

شکل ۲ طیف مادون قرمز کمپلکس را نمایش می‌دهد. پیک در ۳۱۳۰ cm^{-1} به ارتعاشات کششی $\text{O}-\text{H}$ نسبت داده می‌شود. همچنین فرکانس‌های موجود در نواحی ۲۰۷۰ و ۲۱۱۹ cm^{-1} مربوط به تیوسیانات می‌باشد که در حالت پل و ترمیان قرار گرفته‌اند [۱۵-۱۶]. پیک‌های ظاهر شده در نواحی ۱۴۲۵ cm^{-1} و ۱۴۱۶ cm^{-1} مربوط به ارتعاشات کششی $\text{C}=\text{N}$ و $\text{C}=\text{C}$ حلقه فنانترولین



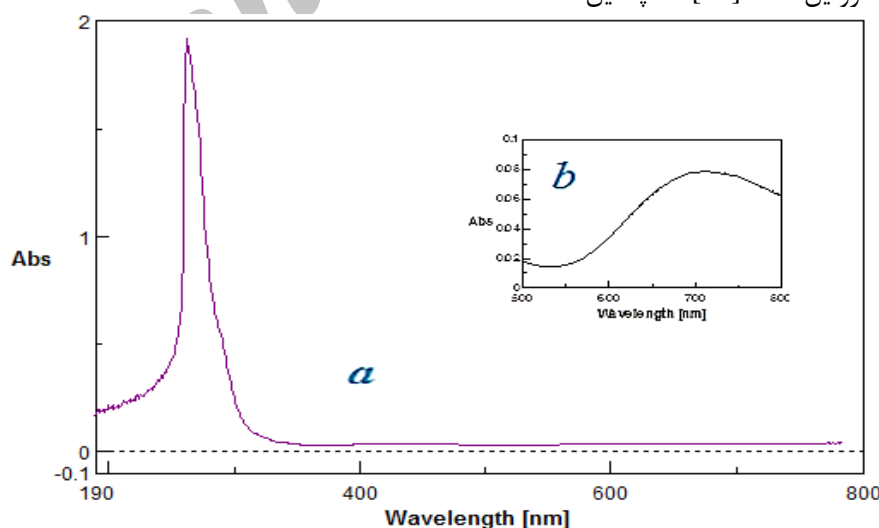
شکل ۲- FT-IR کمپلکس معدنی مس-منگنز

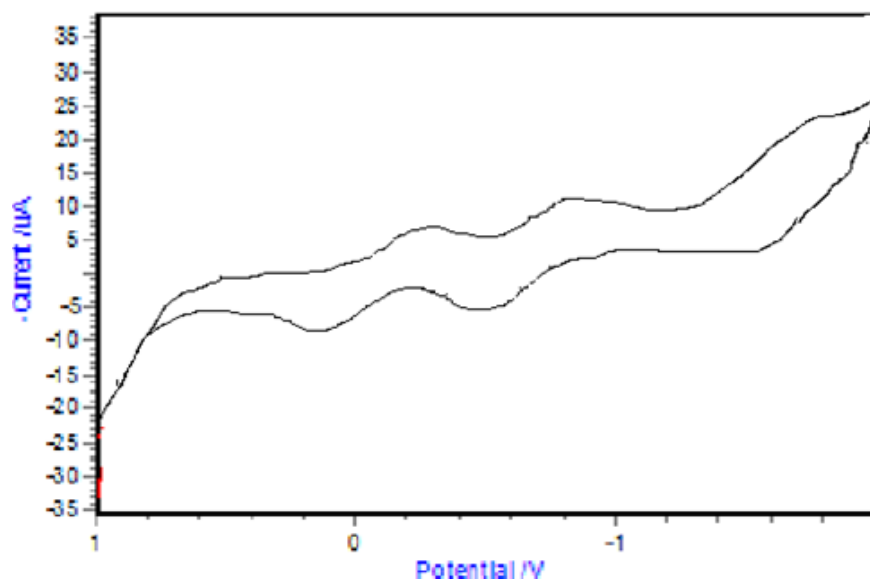


شکل ۳- طیف FT-IR کمپلکس بعد از کلسینه شدن به روش قرص KBr

$d \rightarrow d$ فلز مس در ناحیه ۷۵۶ nm می‌شود. انتقال الکترون در این ناحیه به $^2E_{2g} \rightarrow ^2T_{2g}$ نسبت داده می‌شود [۲۱]. ولتاژ کرام چرخه‌ای این کمپلکس در شکل ۵ نشان داده شده است. موج کاهشی در محدوده ۰.۵-۱ V مربوط به لیگاند فنانترولین است [۲۲]. همچنین پیک‌های مربوط به جفت اکسایش-کاهش شبه برگشت‌پذیر $Mn(II)/Mn(I) = -0.8/-0.6V$ و $Cu(II)/Cu(I) = -0.2/+0.2V$ مشاهده شده است [۲۳، ۲۴].

طیف UV-vis کمپلکس سنتز شده در غلظت‌های $M^{10^{-3}}$ در محدوده مرئی و $M^{10^{-5}}$ در محدوده فرابنفش در شکل ۴ نشان داده شده است. نوار جذبی ظاهر شده در ناحیه UV ۲۶۶ nm مربوط به انتقالات درون لیگاندی $(n \rightarrow \pi^*)$ و $(\pi \rightarrow \pi^*)$ لیگاند SCN^- می‌باشد. برای یون منگنز II با توجه به آرایش d^5 پراسپین و غیر مجاز بودن انتقالات، با توجه به نمودار تابعه - سوگانو، بنابر انتظار، هیچ انتقالی مشاهده نشده است. در این کمپلکس جذب در نواحی ۲۶۰-۲۸۰ nm مربوط به انتقالات $\pi \rightarrow \pi^*$ و $n \rightarrow \pi^*$ لیگاند فنانترولین است [۲۰]. همچنین انتقالات

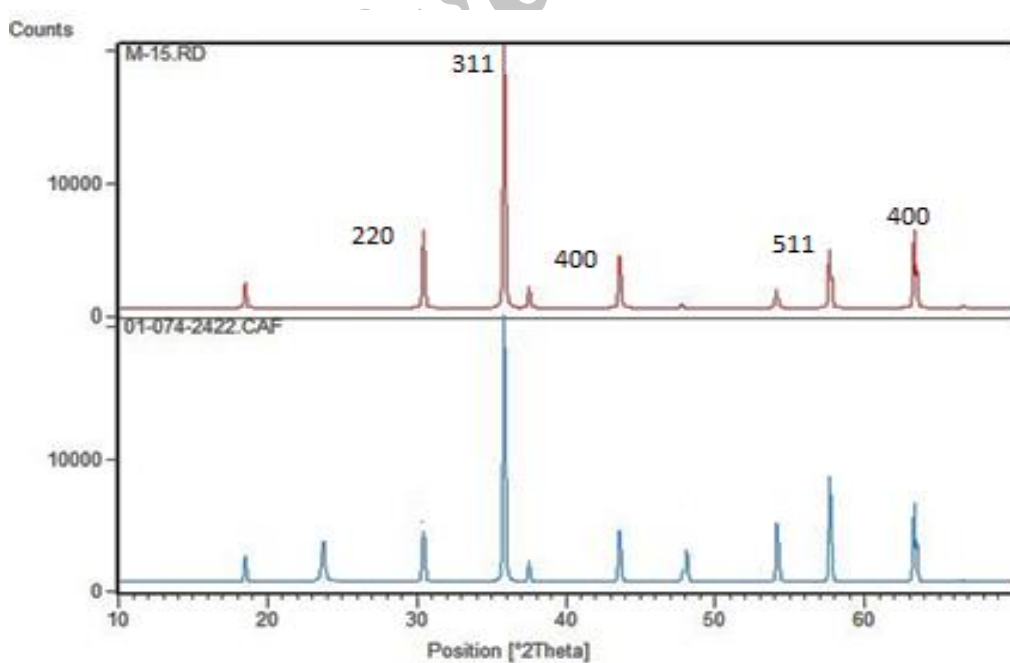
شکل ۴- طیف UV-vis کمپلکس سنتز شده در حلول DMF (b) در محدوده مرئی و $10^{-3} M$ در محدوده فرابنفش



شکل ۵- ولتاوموگرام چرخه ای کمپلکس سنتز شده در حلal DMF و سرعت ۱۰۰ mv/s در حضور الکتروولیت حامل TBAH

میانگین اندازه ذرات با استفاده از معادله دبای شرمنشان می دهد. بلورهای سنتز شده تک فازی و دارای سیستم بلوری مکعبی هستند و با نمونه استاندارد ۰۱-۰۷۴-۲۴۲۲ تعیین شد [۲۵].

شکل ۶ الگوی XRD نانو ذرات اکسیدی تهیه شده را نشان می دهد. بلورهای سنتز شده تک فازی و دارای سیستم بلوری مکعبی هستند و با نمونه استاندارد ۰۱-۰۷۴-۲۴۲۲ تطابق دارند. پراش با بیشترین شدت دارای اندیس میلر (۳۱۱) با فاصله بین صفحات $1/35 \text{ \AA}$ و $69/716 = 2\theta = 20^\circ$ است.

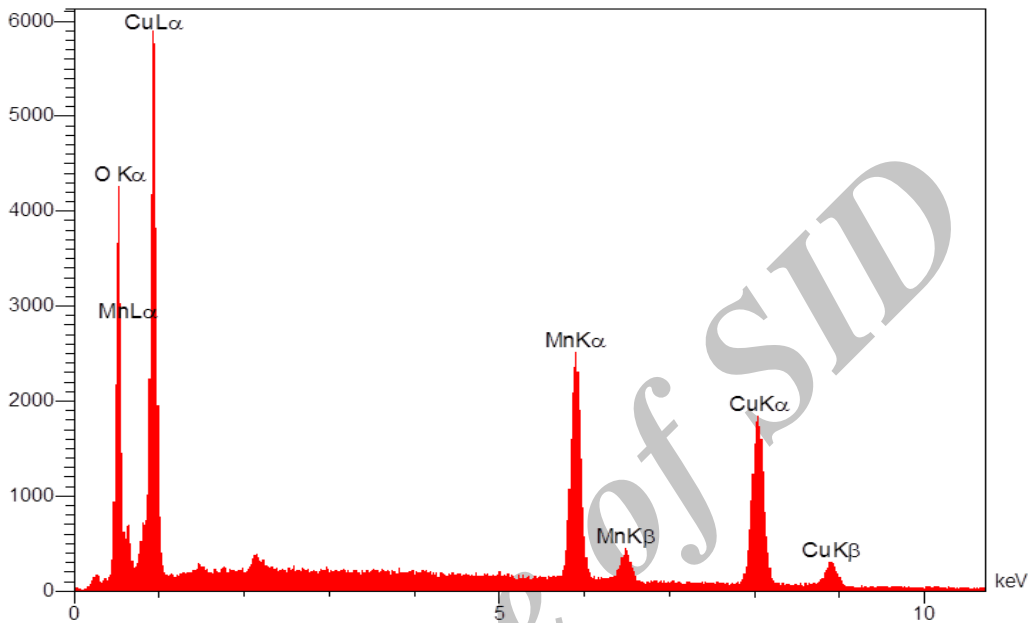


شکل ۶- الگوی XRD CuMn_2O_4 نانو اکسید بعد از کلسینه شدن

بلورهای سنتز شده تقریباً دارای مورفولوژی بکسان و کروی شکل هستند.

بررسی نتایج حاصل از طیف EDX این طیفسنجی نشان می‌دهد که نانوبلورهای سنتز شده از عنصرهای منگنز، مس و اکسیژن تشکیل شده است (شکل ۷ و جدول ۱).

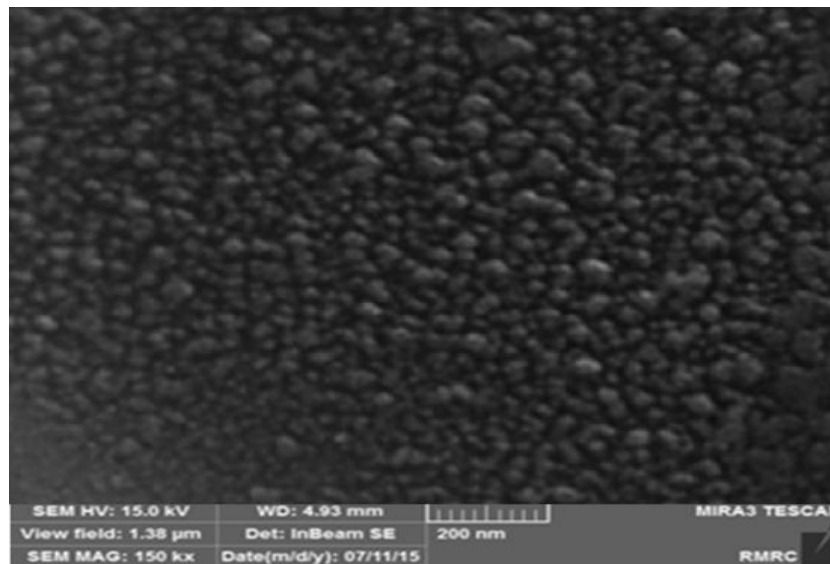
شکل ۸ تصاویر به دست آمده از میکروسکوپ الکترونی روبشی را نشان می‌دهد. همان‌گونه که مشاهده می‌شود نانو



شکل ۷- طیف EDX نانو ذرات CuMn_2O_4 حاصل از کمپلکس سنتز شده

جدول ۱- نتایج مربوط به طیف EDX نانو اکسید CuMn_2O_4 کمپلکس سنتز شده

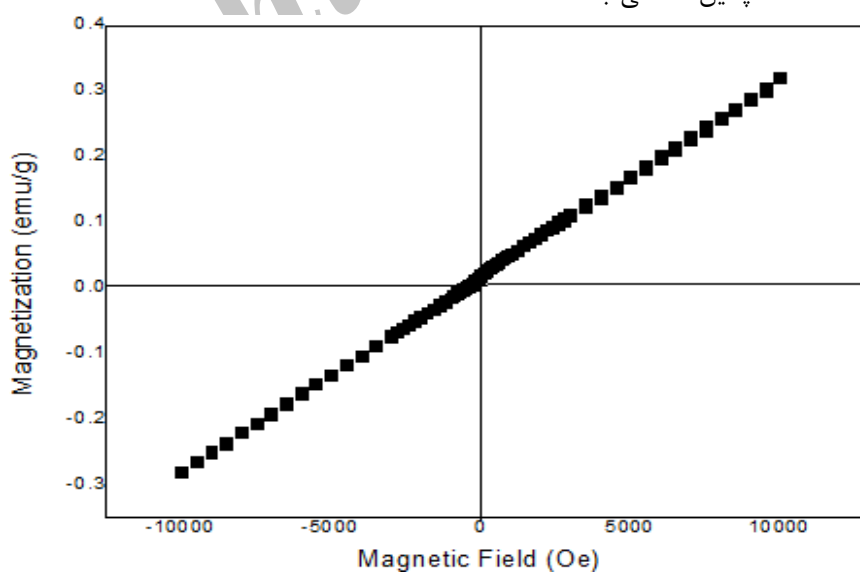
عنصر	درصد وزنی	درصد اتمی
O	۲۳/۷۴	۵۴/۱۳
Mn	۷۴/۲۲	۳۰/۴۳
Cu	۵۳	۱۵/۴۴



شکل ۸.- تصویر SEM نano ذره CuMn₂O₄

فاقد حلقه هیسترزیس بوده و نمودار رفت و برگشت بر یکدیگر منطبق هستند [۲۶].

شکل ۹ نمودار هیسترزیس ترکیب شده را نشان می‌دهد. نتایج حاصل از مغناطیس سنج با نمونه ارتعاشی برای این ترکیب تأیید کننده این است که نانو ذرات به دست آمده پارامغناطیس می‌باشند؛ چون با توجه به این شکل $H_c=0$ است، جریان مغناطیسی به اشباع نرسیده و در ۱۰۰۰۰ ارستد به پایان رسیده است. همچنین منحنی به دست آمده



شکل ۹ - نمودار هیسترزیس حاصل از نانواکسید سنتز شده

رفتار مغناطیسی نانو ذرات توسط روش VSM بررسی گردید. نانو ذرات حاصل از روش کمپلکسومتری یک فازی و میانگین اندازه ذرات nm ۱۸/۰۷ تعیین شد. رفتار مغناطیسی آن‌ها پارا مغناطیسی می‌باشد.

سپاسگزاری

از حمایت‌های مالی حوزه معاونت پژوهشی دانشگاه سیستان و بلوچستان قدردانی می‌نماییم.

نتیجه‌گیری

هدف این تحقیق سنتز نانو ذرات توسط روش کمپلکسومتری می‌باشد. کمپلکس معدنی جدید تهیه شد و ساختار پیشنهادی آن توسط روش‌های طیف سنجی مادون قرمز، طیف سنجی الکترونی، ولتاوی مادون قرمز، طیف سنجی الکترونی، ولتاوی چرخه‌ای بررسی گردید. نانو ذرات حاصل با روش تحریب حرارتی تهیه شدند. ساختار آن‌ها با روش‌های XRD و SEM تایید و

References:

- 1- K. Lee,; Wang, Y.; Cao, G. Dependence of electrochemical properties of vanadium oxide films on their nano- and microstructures. *J. Phys. Chem. B*, 109, 16700-16704, 2005.
- 2- Wang, Y.; Takahashi, K.; Lee, K.; Cao, G. Nanostructured vanadium oxide electrodes for enhanced lithium-ion intercalation. *Adv. Funct. Mater.* 2006, 16, 1133-1144.
- 3- I. Yu, T. Ebrahimi, S. G. Hatzikiriakos, P. Mehrkhodavandi, *Dalton Trans.* 44, 14248 ,2015.
- 4- D. C. Aluthge, J. M. Ahn, P. Mehrkhodavandi, *Chem. Sci.* 6, 5284 (2015).
- 5- L. M. Aguirre-Díaz, M. Iglesias, N. Snejko, E. Gutiérrez-Puebla, M. Á. Monge, *RSC Adv.* 5, 7058 (2015).
- 6- S.J. Chalk, J.F. Tyson, *Anal. Chem.* 66: 660 (1994).
- 7- S.A. Bedell, A.E. Martell, *Inorg. Chem.* 22: 364 (1983).
- 8- K. Larsson, L. O " hrstro"m, *Inorg. Chim. Acta*, 357: 657 (2004).

9- K. Binnemans, P. Lenaerts, K. Driesen, C. Go"rller-Walrand, *J. Mater. Chem.* 14: 191 2004.

10- P. Lenaerts, A. Storms, J. Mullens, J. D'Haen, C. Go"rller-Walrand, K. Binnemans, K. Driesen, *Chem. Mater.* 17: 5194, 2005.

۱۱- عبیداوی، ع.، سنجابی، س.، بررسی تاثیر نسبت مولار NiO/Al2O3-Al:Mg تولیدی به روش سل - ژل اصلاح شده، نشریه علمی پژوهشی مواد نوین، دوره ۵، شماره ۲۰، تابستان ۱۳۹۴، صفحه ۱۴۳-۱۵۴.

12-Umer, A., Naveed, S., Ramzan, N., Selection of a suitable method for the synthesis of copper nanoparticles, *NANO: Bref Reports and Reviews*, Vol. 7(5), 2012.

۱۳-معمار غفاری، ن.، فربد، م.، کاظمی نژاد، ا.، تولید نانوسيم‌های اکسید مس با قابلیت تجزیه فتوکاتالیستی آلاینده‌های آب، *Ceramics International*، جلد ۴۰، شماره ۱، صفحات ۲۰۱۴-۵۲۱، ۵۱۷-۵۲۱.

۱۴- مرسلی، ع.، نانو شیمی ابر مولکول‌ها، انتشارات دانشگاه تربیت مدرس، ۱۳۸۹.

- 15- Uhrecký, R., Svoboda, I., Ruzickova, Z., Koman, M., Synthesis, structure and magnetism of manganese and iron dipicolinates with N,N'-donor ligands, *Inorg Chim Acta*, 2014.
- 16- Uddin,M. Rupa,T., Synthesis, Characterization and Antibacterial Properties of Some Thiocyanato Bridged Heteronuclear Complexes of Nickel, *Applied Chem Res*, 8, 45-56, 2014.
- 17- Amani,V., Safari,N., Notash,B., Iron(III) hetero-ligand complexes containing 1,10-phenanthroli derivatives, chloride and dimethyl sulfoxide: synthesis, characterization crystal structure determination and luminescent properties, *IRAN CHEM SOC*, 10, pp.751-761, 2013.
- 18- Amane , M ., Hamdani , H ., Synthesis and Characterization of Caffeine and Phenanthroline complexes [M(phen) (caf) 2X2] M = Ni(II),Cu(II),Zn(II),Cd(II), X=SCN-, CN-, caf : caffeine, phen :(1,10)-phenanthroline, *International Journal of ChemTech Research*, Vol. 6, pp. 465-473, 2014.
- 19- K . Nakamoto, Infrared and Raman Spectra of Inorganic and Coordination Compounds. PartB: Applications in Coordination, Organometallic, and Bioinorganic Chemistry, fifth ed., John Wiley & Sons Inc, New York, 1997.
- 20- Smestad, G. Gratzel, M. Demonstrating Electron Transfer and Nanotechnology: A Natural Dye-Sensitized Nanocrystalline Energy Converter, *Journal of Chemical Education*, Vol. 75, pp. 752-756, 1998.
- 21- Detoni, C. Carvalho, N.M.F. Desouza, R.O.M.A. Aranda, D.A.G. Antunes, Q.A.C. Catalysis. Letters, Vol. 129, pp. 79, 2009.
- 22- Ammann, M. baucrle, P. Synthesis and electronic properties of series of oligothiophene-[1,10]phenanthrolines, *Organic. Biomolecular. Chemistry*, Vol. 3, pp. 4143-4152, 2005.
- 23- lever, A.B.P., *Inorganic Electronic Spectroscopy*, 2nd, Elsevier, 1989.
- 24- P.Zanello, *Inorganic Electrochemistry, theory, pracice and application.*, R. S.C, 49, 66,579-600, 2003.
- 25-Klug, H. P.; Alexander, L. E.; X-ray Diffraction Procedures for Polycrystalline and Amorphous Materials, Wiley, New York, 1974.
- 26- Yi. Liu, D. J. Sellmyer, J. Shindo Advanced Magnetic Materials. springer science, 2006, Vol. 4.